

NAYUTA: 一种基于分组密码的加密算法

董旭鹏¹, 周雪晴¹, 杨文忠¹, 孟繁一²

¹新疆大学计算机科学与技术学院(网络空间安全学院), 新疆 乌鲁木齐

²复旦大学微电子学院, 上海

收稿日期: 2023年9月16日; 录用日期: 2023年10月16日; 发布日期: 2023年10月23日

摘要

分组密码作为对称密码的一个重要分支, 在保护信息安全方面具有重要作用; 当今主流的分组密码算法有DES、AES、SMS4等加密算法。该算法作为基于分组密码设计的加密算法, 选取分组密码的 K 空间中的密钥元素作为置换依据对密文进行置换, 并在置换完毕后将密钥插入密文中, 通过函数将密文中的所有块和密钥进行处理并发送。相较于其他的加密算法, NAYUTA主要面向即时通讯, 利用密文-密文验证的双因子验证模式和密文-密文验证的双因子混合模式, 增加了统计学分析攻击的难度, 同时也保证了密文信息的可信性和完整性。对于双因子验证模式的处理函数而言, 该模式是一种基于时间的对称加密方式, 使得加密近似于理想OTP (One-Time Password)的加密方式。NAYUTA目前已将在软件层面和硬件层面均有实现。

关键词

分组密码, 对称加密, 密码学, 加密算法, 信息安全, 一次一密, 信息内容安全

NAYUTA: An Encryption Algorithm Based on Block Ciphers

Xupeng Dong¹, Xueqing Zhou¹, Wenzhong Yang¹, Fanyi Meng²

¹School of Computer Science and Technology (School of Cyberspace Security), Xinjiang University, Urumqi Xinjiang

²School of Microelectronics, Fudan University, Shanghai

Received: Sep. 16th, 2023; accepted: Oct. 16th, 2023; published: Oct. 23rd, 2023

Abstract

As an important branch of symmetric ciphers, block ciphers play an important role in protecting

information security; today's mainstream block cipher algorithms include DES, AES, SMS4 and other encryption algorithms. As an encryption algorithm designed based on block cipher, the algorithm selects the key element in the K space of the block cipher as the replacement basis to replace the ciphertext, and inserts the key into the ciphertext after the replacement is completed, and processes and sends all blocks and keys in the ciphertext through the function. Compared with other encryption algorithms, NAYUTA is mainly oriented to instant messaging, and uses the two-factor authentication mode of ciphertext-ciphertext verification and the two-factor hybrid mode of ciphertext-ciphertext verification, which increases the difficulty of statistical analysis of attacks and ensures the credibility and integrity of ciphertext information. For the processing functions of the two-factor authentication mode, this mode is a symmetric time-based encryption method, which makes the encryption similar to the ideal OTP (One-Time Password) encryption method. NAYUTA will now be implemented at both the software and hardware levels.

Keywords

Block Cipher, Symmetric Encryption, Cryptology, Encryption Algorithms, Information Security, One Secret at a Time, Information Content Security

Copyright © 2023 by author(s) and Hans Publishers Inc.

This work is licensed under the Creative Commons Attribution International License (CC BY 4.0).

<http://creativecommons.org/licenses/by/4.0/>



Open Access

1. 引言

随着信息技术的发展,人们使用网络进行社会活动的现象越来越普遍,同时使用网络的人数也在不断增加,在网络不断便利人们的同时,也产生了一系列与网络安全和信息安全相关的问题[1]。NAYUTA 算法作为分组密码学的一种,通过根据时间进行对称加密、将随机数作为混淆依据等加密方式,使得密文达到近似理想的 OTP 加密[2]特点,为分组密码的研究提供了新的思路和方法。

2. NAYUTA 算法设计

2.1. NAYUTA 算法介绍

对于一次迭代而言, NAYUTA 将明文消息编码为二进制序列,划分为固定大小的块(Block),令明文编码后的二进制序列为 m_1, m_2, \dots, m_i 将其划分为若干等长的块并由第一个块开始,按照顺序方式或逆序方式对块进行标号如图 1 所示。

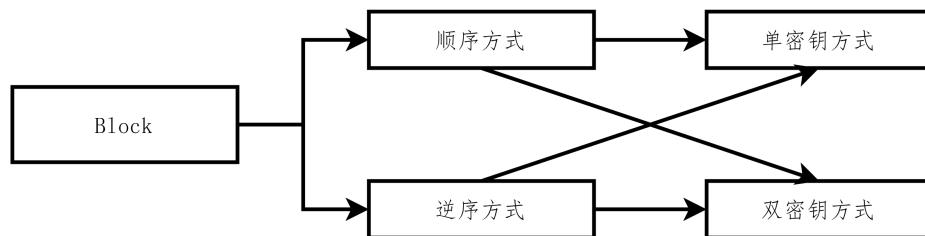


Figure 1. Sort of the plaintext blocks

图 1. 明文块的排序方式

对 S 的标号无论是顺序方式还是逆序方式,均有单密钥和双密钥两种置换方式。若使用单密钥方式,

令块的固定长度为 t ，此时密钥空间 K 的大小为 2^t ；此时，若使用顺序 - 单密钥方式进行加密，则选取 $(1, 2^t)$ 中的任意一个数 R 作为密钥[3]，则置换后各个块的标号为 $S_{new-n} = S - R$ ，并将 S 与 S_{new} 形成双射形式如图 2 所示。

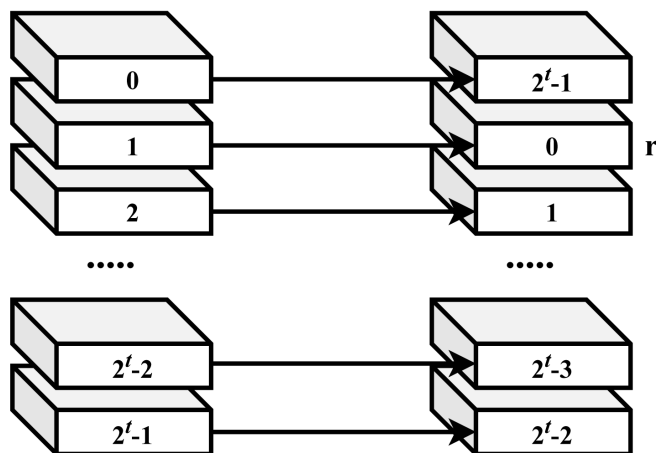


Figure 2. Bijective form
图 2. 双射形式

若使用顺序 - 双密钥方式，则选取 $(1, 2^t)$ 中的任意两个数 T, U 作为密钥，则置换后各个块的标号为 $S_{new-n} = S - (T + (U - 1) * n) \text{MOD} 2^t$ ，并使用线性探测的方法处理标号冲突，并将 S 与 S_{new} 形成双射形式；逆序 - 单密钥方式和逆序 - 双密钥方式这里不再一一陈述。在所有块的 S_{new} 完成标号后，将使用加密函数，对所有块和密钥的标号和数字进行变换，对于 NAYUTA 的软件层面加密来说，密文为有符号整数，对于 NAYUTA 的硬件层面来说，NAYUTA 为无符号的整数(byte 流)。在整体密文形成后，还需要使用波动函数对所有密文(包括加密后的密钥)进行处理，该步骤是为了增大对密文的混淆程度，增加线性密码分析攻击[4]和差分密码分析攻击[5]等密码分析攻击的难度。

2.2. 利用二叉树结构对数据进行处理

NAYUTA 在进行数据处理时可以使用公式计算的方式，也可以使用二叉树结构进行数据处理，对于双密钥的情况来说，可以使用该结构实现对块(Block)的标号。

在使用二叉树结构进行数据处理时，通过建立一个 t 层(t 为 2.1 节中提到的块的固定长度)满二叉树，根据顺序方式或逆序方式对每个二叉树的根节点变量 a 进行标号，再根据置换规则对每个二叉树的根节点变量 b 进行标号；根据输入的二进制流和固定长度依次对二叉树的每个节点进行判断；若为顺序方式，则二叉树节点分布规律为“左 0 右 1”，若为逆序方式，则二叉树节点分布规律为“左 1 右 0”如图 3 所示。

2.3. 基于时间的加密函数

NAYUTA 在加密函数的使用方面是基于时间设计的，在 NAYUTA 软件层面，通过网络获取当前时间(GMT 格林尼治标准时间)或通过获取本机当前时间，根据当前时间采用三种不同的非线性加密函数[6]对密文进行处理如图 4 所示，即 month 函数，day 函数，min 函数。在 NAYUTA 的设计过程中，应尽量避免该加密函数组与基于时间的双因子验证模式的函数组相同。

2.4. 时间偏置函数

NAYUTA 时间偏置函数是为了解决在基于时间的加密函数中因为数据传输时间而产生解密函数引

用不相同的问题，目前 NAYUTA 的精度为分钟，该问题大多存在于发送方在某时刻的 59 秒时发送数据而导致接收方引用的解密函数为下一分钟所对应的解密函数，从而解得一个错误的密文。因此通过使用时间偏置函数，通过设定的参数 L ，可以将接收方的时间偏置到发送方当前所在的分钟，通过设定偏置函数的参数，也可以确保密文的时效区间，从而提高密文的安全性，如图 5 所示。时间偏置函数在设定方面是对称设计。

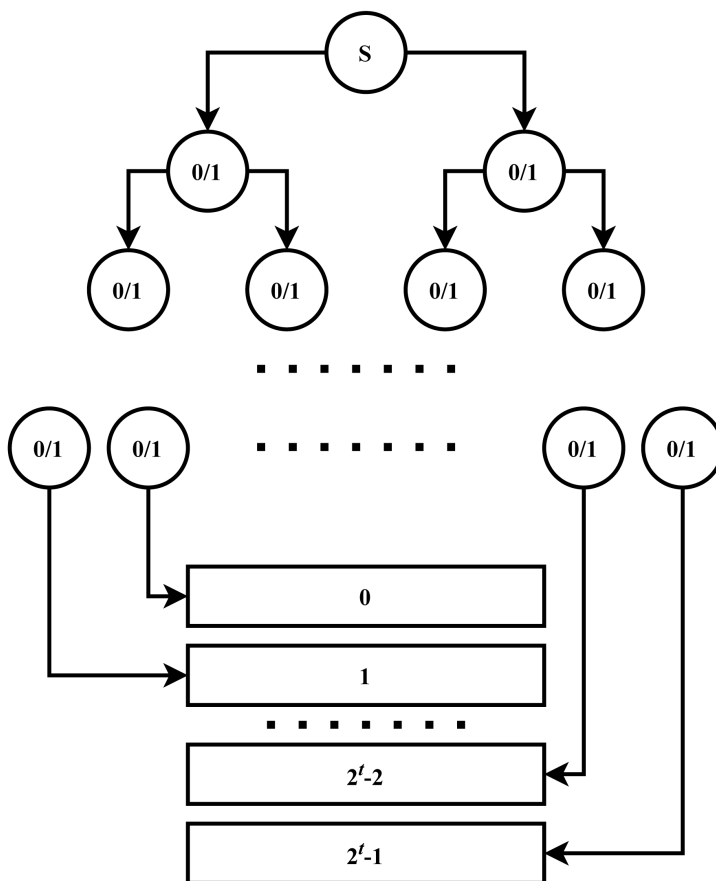


Figure 3. Use a binary tree structure for processing
图 3. 使用二叉树结构进行处理

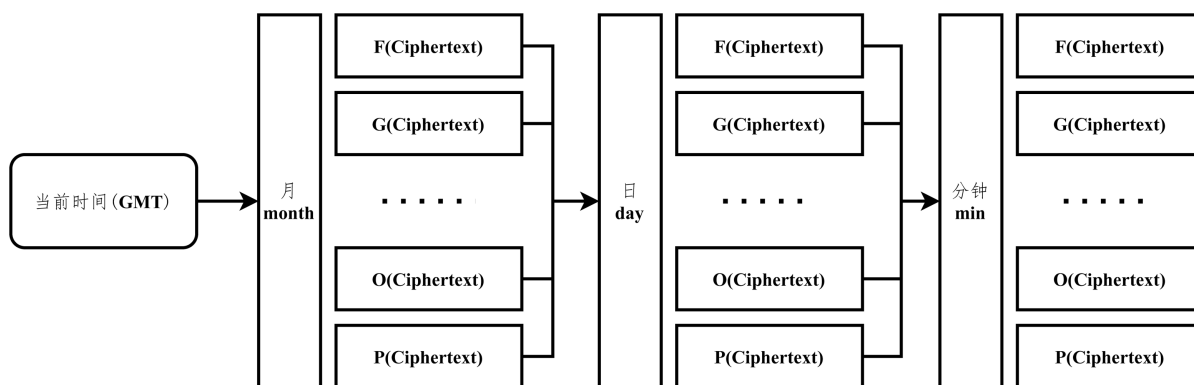


Figure 4. The processing of ciphertext by three different cryptographic functions
图 4. 三种不同加密函数对密文的处理

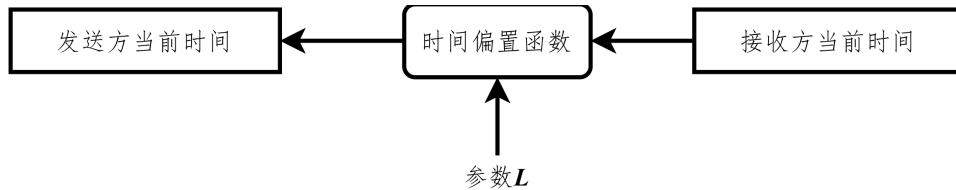


Figure 5. The time bias function uses a schematic
图 5. 时间偏置函数使用示意

2.5. 波动函数对密文(Block)的处理

NAYUTA 在加密函数的过程中,除了基于时间的加密函数以外,还有波动函数需要对密文的整体进行处理,使用波动函数的目的是为了降低分组密码块(Block)重复的概率,增大 NAYUTA 的无序性。波动函数是一个周期函数,其周期为 T ,其中包含函数 $F(X)=X,G(Y)=Y,O(Z)=Z\dots$;其中 X,Y,Z,\dots 为有符号整数与块(Block)相加,并得到新的块标号如图 6 所示。

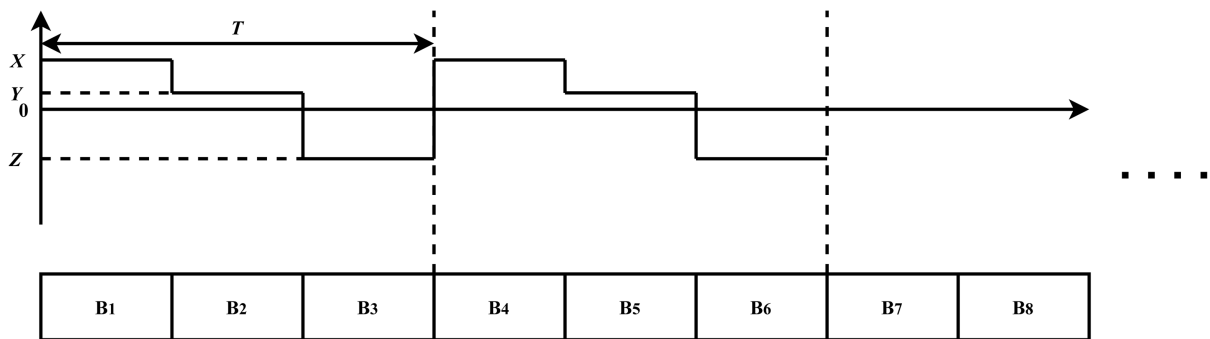


Figure 6. Schematic diagram of the processing of ciphertext (Block) by the wave function
图 6. 波动函数对密文(Block)的处理示意图

2.6. 密文的组成结构与迭代

NAYUTA 算法在密钥选取方式上存在单密钥,双密钥两种加密方式,对于单密钥方式,组成结构为时间戳(Time) + 密钥 S + 块(Block),对于双密钥方式,组成结构为时间戳(Time) + 密钥 S_1 + 密钥 S_2 + 块(Block)。NAYUTA 的时间戳获取的时间为本机时间,并不用作 NAYUTA 基于时间的双因子验证模式的依据,其组成为年 - 月 - 日 - 分钟如图 7 所示。

单随机数方式密文组成结构



双随机数方式密文组成结构

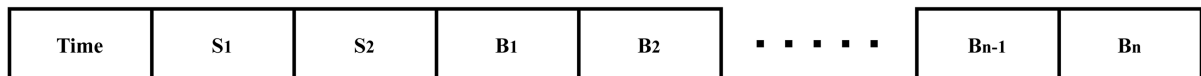


Figure 7. Single/double random ciphertext composition structure
图 7. 单/双随机方式密文组成结构

对于 NAYUTA 单密钥来说,迭代一次会将除时间戳以外的所有元素(密钥与块(Block))作为明文再次进行加密,得到迭代后的密文,密文总体长度增加 1 个块如图 8 所示。

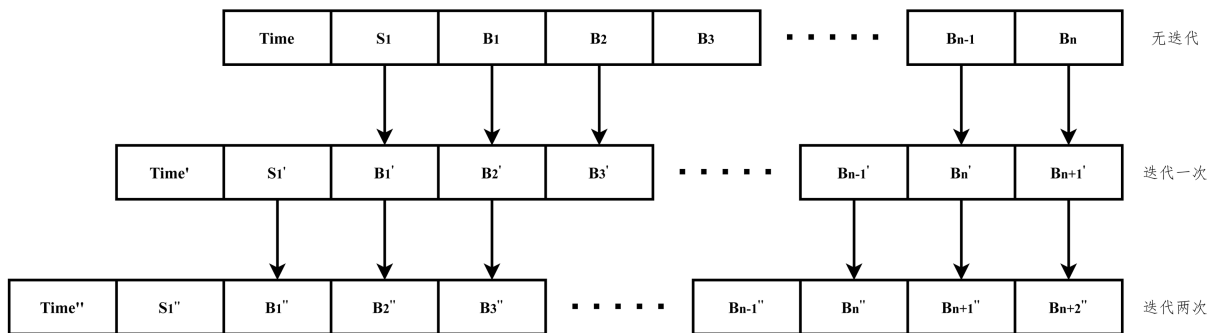


Figure 8. Single-key post-iteration ciphertext
图 8. 单密钥迭代后密文

对于 NAYUTA 双密钥来说, 迭代一次会将除时间戳以外的所有元素(密钥与块(Block))作为明文再次进行加密, 得到迭代后的密文, 密文总体长度增加 2 个块如图 9 所示。

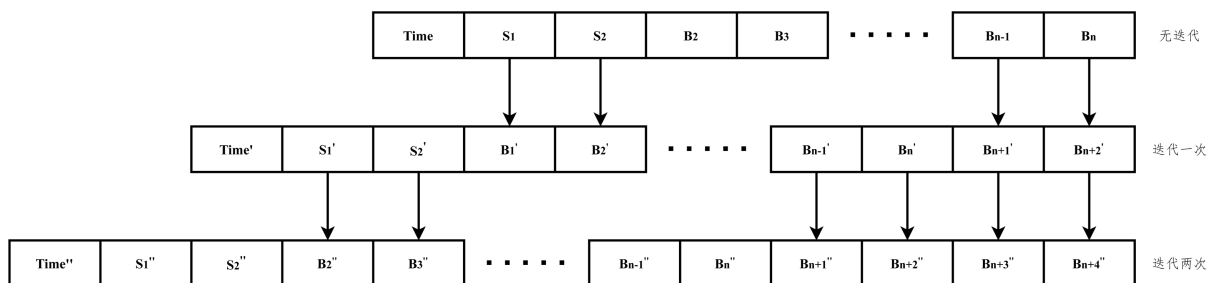


Figure 9. Double-key post-iteration ciphertext
图 9. 双密钥迭代后密文

3. NAYUTA 算法的双因子验证模式

NAYUTA 的双因子验证模式主要为密文提供了检查自身完整性的功能, 主要过程为由密文因子产生验证因子, 并将密文因子和验证因子混合发送。

3.1. 双因子基于时间的数据处理方式

NAYUTA 双因子基于时间的数据处理方式, 其所使用的时间函数规则与之前提到的 NAYUTA 基于时间的处理函数相同, 均为通过获取本地时间或网络时间(GMT)对密文中的每个块(Block)进行处理, 并产生验证因子块(Block), 密文因子与验证因子集合的关系为双射关系。对于接收方对验证因子进行验证时, 首先应当使用 NAYUTA 时间偏置函数对验证因子进行偏置, 再使用其对应的的时间处理函数对验证因子进行验证。在验证方式上, 应当使用经过时间处理函数处理后的验证因子与密文因子进行一一对应如图 10 所示。

3.2. 双因子与密文(Block)的混合模式

NAYUTA 在通过双因子验证模式时产生了验证因子(Block), 因此在发送时采用密文因子 - 验证因子混合发送模式, 假设排列数组为 $\{X, Y, \dots, N\}$ 共有 n 个数, 将验证因子按照密文块 1, X 个验证因子块, 密文块 2, Y 个验证因子块……的形式排列, 当排列到 N 时, 下一次将使用 X 进行排序, 依次循环; 当验证因子块未到 N 时排序完成, 则将密文因子线性排列, 不再插入验证因子块。验证因子块的排列方式或排列顺序与检测完整性无关, 即完整性检测本身是由验证因子块所决定的。在双因子混合发送的情况

下, 由密文因子转换为验证因子的时间处理函数不宜为非线性函数, 而应侧重线性函数, 以此方式提高密文因子与验证因子混合后的无序性, 如图 11 为双因子和密文(Block)的混合流程。该方法与干扰密钥[7]不同的是混合的 Block 能够为检测密文完整性提供判断依据。

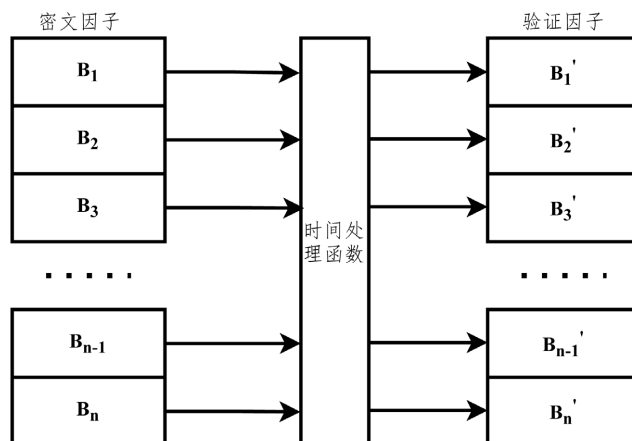


Figure 10. The correspondence between the ciphertext factor and the validation factor
图 10. 密文因子和验证因子的对应关系

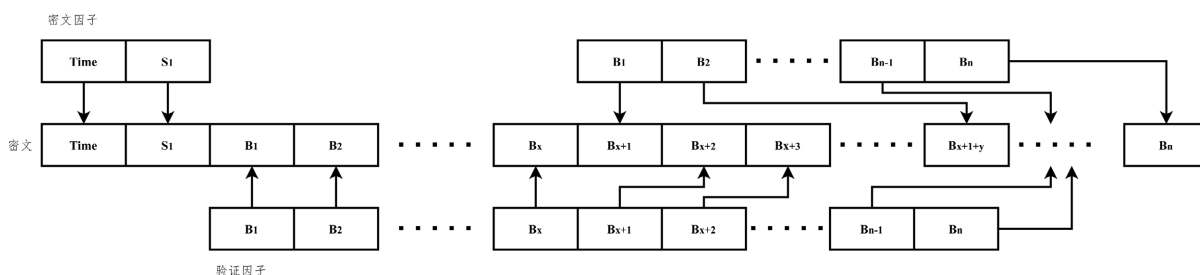


Figure 11. Two-factor and block hybrid process
图 11. 双因子与密文(Block)的混合流程

4. NAYUTA 算法性能测评和安全性分析

4.1. NAYUTA 算法性能

将 NAYUTA 算法在 C 语言环境下加密数据, (包含双因子验证与混合模式, 且块宽度为 8), NAYUTA 算法性能的测试机型为:

设备名称: LAPTOP-R1BOFVD4;

处理器: Intel(R) Core(TM) i5-10200H CPU @ 2.40GHz 2.40 GHz;

机带: RAM 16.0 GB (15.9 GB 可用)。

在以上设备条件下, 将不同数据量使用 NAYUTA 进行加密, 得到不同数据量下 NAYUTA 加密的速度即表 1 和图 12。

Table 1. The encryption speed of NAYUTA under different data volumes
表 1. 不同数据量下 NAYUTA 的加密速度

字节数(MB)	1	2	4	8	16	32	64
加密速度(MB/s)	2.5	5.2	10.8	19.5	38.5	74.3	159.6

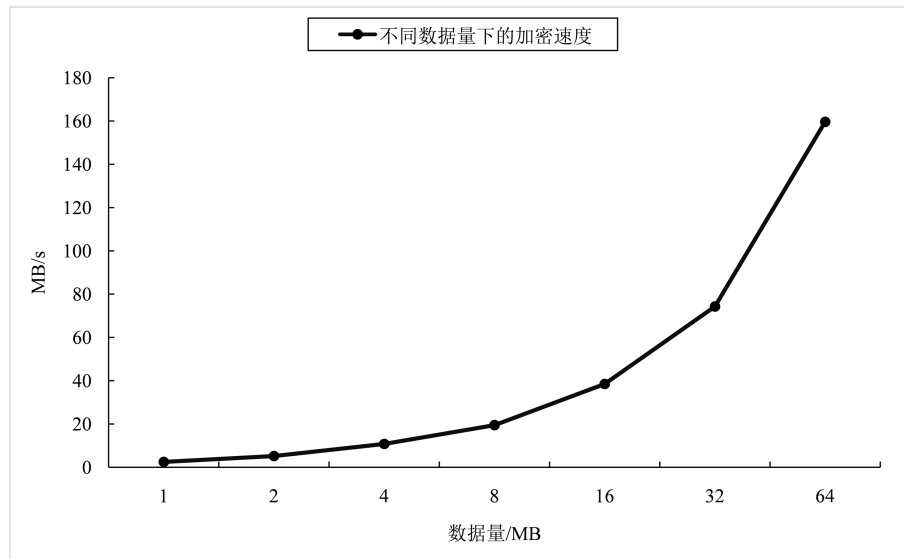


Figure 12. The encryption speed of NAYUTA under different data volumes

图 12. 不同数据量下 NAYUTA 的加密速度

根据上图能够得到 NAYUTA 在数据量增大时具有较好的数据吞吐量[8], 能够在不同的数据量下呈现出较好的性能, 取以上数据的平均值作为 NAYUTA 的平均加密速度, 将 NAYUTA 的平均加密速度与其他加密算法平均加密速度相比较得到图 13 所示直方图。

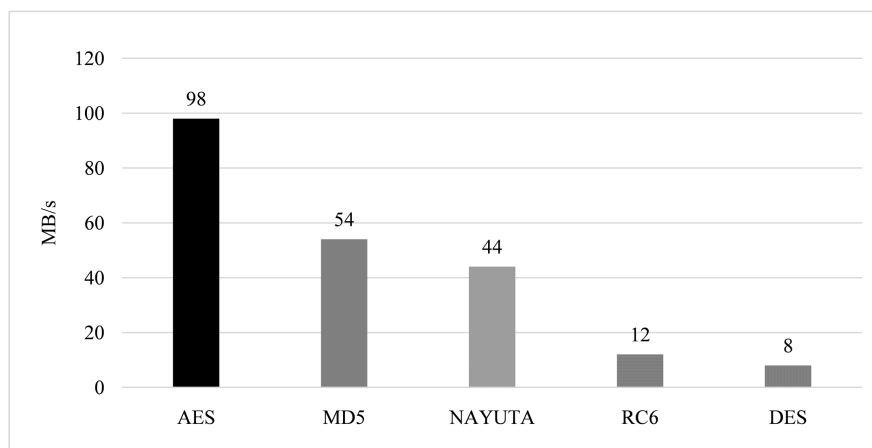


Figure 13. Comparison of the average encryption time of NAYUTA and other encryption algorithms

图 13. NAYUTA 和其他加密算法加密平均时间对比

能够得到 NAYUTA 在目前主流分组密码中的速度居中[9], 相较于 MD5 算法速度较为相近, 加密速度约为 AES 的一半, 明显快于 RC6 和 DES [10]加密算法。

4.2. NAYUTA 算法安全性分析

对 NAYUTA 算法采取统计学分析的攻击方式, 选取一篇文章作为明文(plaintext), 该明文包含的汉字和字符共为 1451 个, 在使用 NAYUTA 加密四次后(不包括双因子验证和混合模式, 且分组长度为 8, 波动函数 $T=2$)产生四串密文 A、B、C、D, 每串密文字符平均长度为 3347 个, 通过航天云 AI [11]相似度分析, A、B、C、D 四串密文的相似度如表 2 所示。

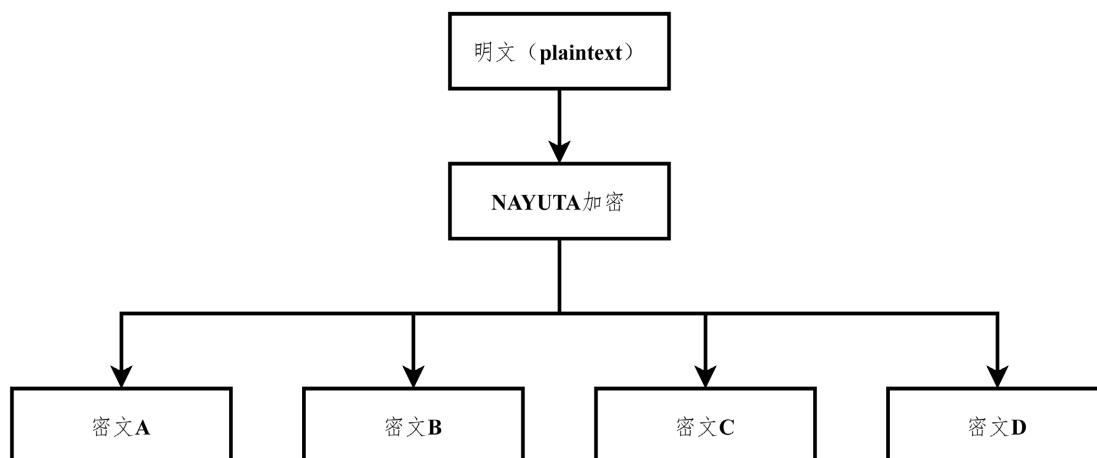


Figure 14. Security analysis and comparison

图 14. 安全性分析比对

Table 2. Comparison of similarities between different ciphertexts generated by the same plaintext

表 2. 同一明文生成的不同密文之间的相似度对比

	密文 A	密文 B	密文 C	密文 D
密文 A	/	1.24%	4.11%	2.43%
密文 B	1.24%	/	0.38%	2.53%
密文 C	4.11%	0.38%	/	2.05%
密文 D	2.43%	2.53%	2.05%	/

在不考虑 NAYUTA 基于时间加密的情况下，通过对比 NAYUTA 与 ECB 模式下对于同一明文的加密情况，从而对 ECB 在相同明文映射到相同密文下的关于明文或位图强特征的缺陷[12]，与 NAYUTA 作为不具有 Feistel 结构的加密算法[13]是如何克服这一缺陷的进行深入的安全性分析，用以证明 NAYUTA 在抵抗位图加密分析方面与不可能进行差分密码分析[14]方面的可行性。

$$F(x) = \begin{cases} \text{Black}, 192 < x \leq 256 \\ \text{Darkgray}, 128 < x \leq 192 \\ \text{Lightgray}, 64 < x \leq 128 \\ \text{White}, 0 \leq x \leq 64 \end{cases} \quad (1)$$

假设具有 256 组无符号八位二进制强特征明文，且明文中的数据特征仅分为两种；以 ECB 模式将该明文的数据处理为相同格式的密文，依次排列在 16×16 的网格图中，并用 $F(x)$ 分段函数对该密文的数据特征进行着色呈现如下图 15。

由图 15 A1 可得，该密文是具有强特征缺陷[15]的密文，在抵抗位图加密分析和差分密码分析方面具有明显的缺陷，现在使用相同的分组长度(8 位)和 NAYUTA 对该明文进行加密，并用 $F(x)$ 分段函数对该密文的数据特征进行着色呈现如图 15。得到四种位图 A1、B1、B2、B3。其中，ECB 位图为 A1，三种密文位图依次为 B1、B2、B3。三种密文采用连续加密的方式产生。由 AHA 方式对 ECB 位图与三种密文位图，三种密文位图之间进行相似度分析[16]，通过进行 AHA 的对比，能够以图形特征角度进行 ECB 下具有强特征缺陷的位图与经过 NAYUTA 算法加密后的位图相似度分析即图 16。

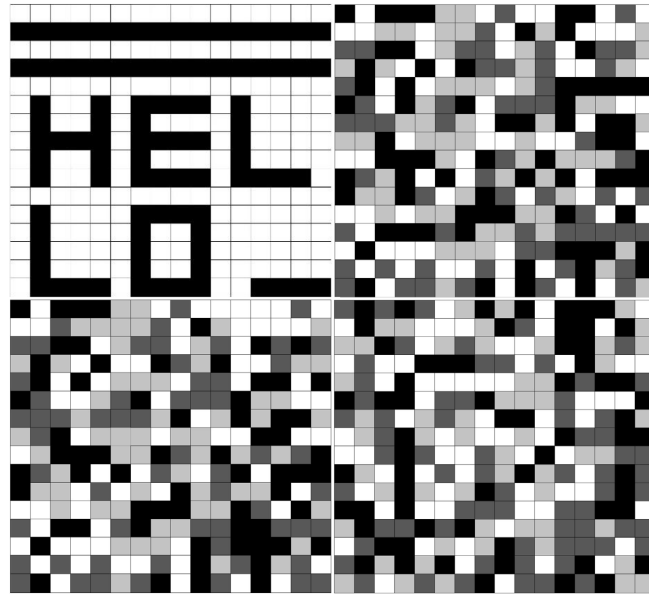


Figure 15. Bitmap coloring image. Top left: A1; Top right: B1; Bottom left: B2; Bottom right: B3
图 15. 位图着色图像。左上: A1; 右上: B1; 左下: B2; 右下: B3

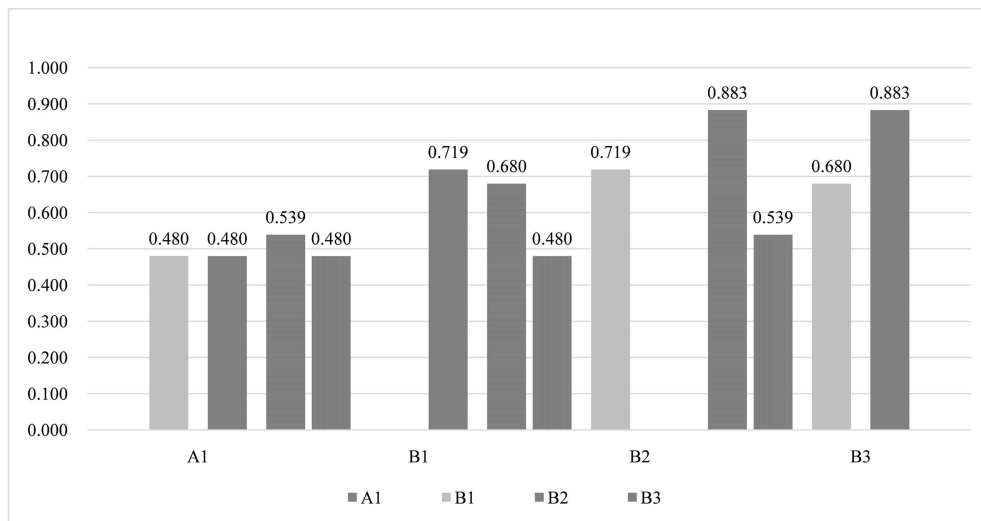


Figure 16. Similarity analysis

图 16. 相似度分析

根据直方图数据,在利用 AHA 求得相似度后,密文数据与明文数据相似度接近四者平均值,密文与密文之间的相似度相对差异较小。

将密文数据与明文数据重新使用灰度绘制直方图并进行相关系数(Correlation) [17]的计算,以此多角度的描述 NAYUTA 对具有强特征缺陷数据的扰乱作用。

$$d(H_1, H_2) = \frac{\sum_l (H_1(I) - \bar{H}_1)(H_2(I) - \bar{H}_2)}{\sqrt{\sum_l (H_1(I) - \bar{H}_1)^2 \sum_l (H_2(I) - \bar{H}_2)^2}} \quad (2)$$

由图 17,根据 A1、B1、B2、B3 的相关系数比较能够得到,具有强特征缺陷的 ECB 位图与 NAYUTA 的三个加密位图相关系数接近三者平均值, NAYUTA 的三个加密位图之间相关系数差异较大。

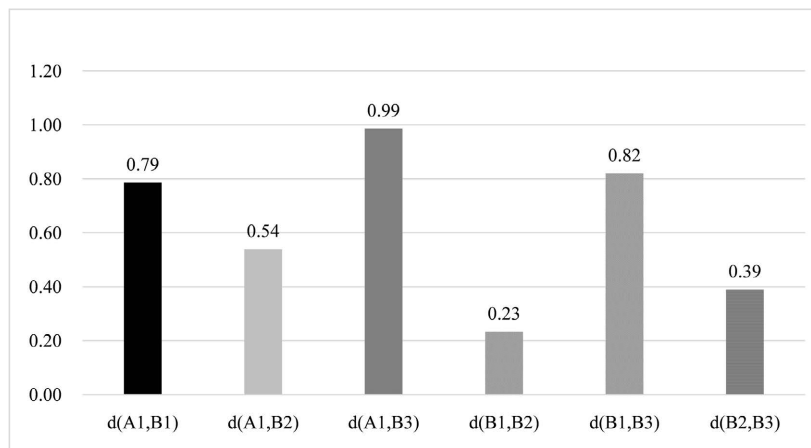


Figure 17. Comparative analysis of correlation coefficients

图 17. 相关系数比较分析

保留相关系数比较所使用的灰度直方图,利用信息熵计算公式得到四个位图所呈现的信息熵大小[18][19][20],如图18所示。NAYUTA 算法加密下的密文约为 ECB 模式加密下的密文信息熵的两倍。

$$H(X) = -\sum_{i=1}^m p_i \log_2 p_i \quad (3)$$

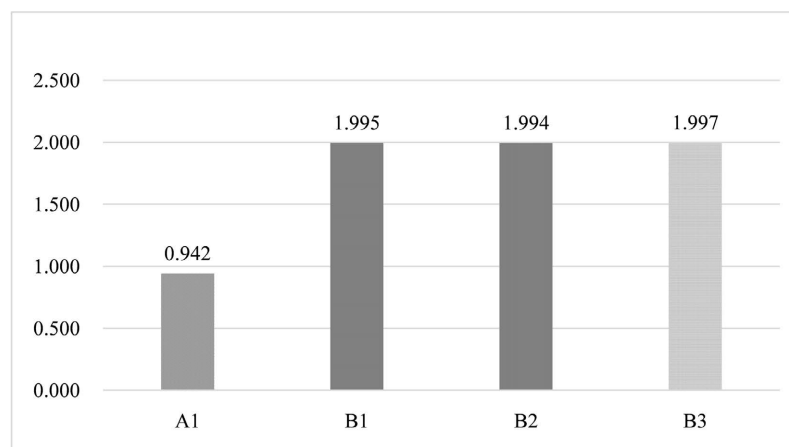


Figure 18. Comparative analysis of entropy of ciphertext information

图 18. 密文信息熵比较分析

5. 结束语

NAYUTA 作为基于分组密码学的加密算法,在实现方面并不完全依赖迭代来为 NAYUTA 提供安全性保证;在安全性实现方面,NAYUTA 使用了单密钥和双密钥的方式来对所有的块进行置换操作,从而实现加密的目的,与 AES、RC4 等加密算法不同的是,NAYUTA 并不使用密钥流与密文进行运算,相比于这两种算法,NAYUTA 在加密时选取的密钥数量并不多。在分组密码的基础上,NAYUTA 使用了基于时间的加密函数来对密文中的密钥和块进行加密,在检测密文自身完整性方面,NAYUTA 使用了基于时间的双因子验证模式和双因子混合发送模式,通过将密文因子和验证因子混合的方式,在实现密文自身检测完整性的基础上,还解决了分组密码因加密数据量过大而导致的密钥泄露的问题。

NAYUTA 将时间作为参考标准,最高精度达到 1 分钟,在解决时间冲突与误判方面使用了偏置函数,

从而达到除去传输时间, 近似于理想 OTP 加密模式。随机数分组作为双方对称的密钥使用, 并存在于密文之中, 用于抵抗线性分析和非线性分析, 该模式将一般性的明文安全性与分组密码的信息熵进一步提高。波动函数用于在明文具有强特征的情况下对于分组密码的扰乱操作, 能够在单位时间内抵抗线性分析和非线性分析。双因子验证模式通过将密文进行变换得到验证因子, 能够抵抗重放攻击和篡改攻击。NAYUTA 在一定程度上解决了密钥过长和分组密码因数据量大而安全性降低的问题。

致谢

首先, 我要感谢我的指导教师, 他在整个论文写作过程中给予了我很多的鼓励和帮助。在文章撰写过程中提供了许多宝贵的意见和建议。在我遇到难题和瓶颈时, 给予我帮助, 让我豁然开朗。

而后, 我要感谢合作的老师和同学们。在这个算法中, 我们共同探讨问题、设计实验、分享经验、他们的建议对论文的完成有着关键作用。

此外, 我要感谢参与本研究的共同作者们。他们认真的研究精神, 对我们的算法做出证明工作, 使得我们的论文变得更加严谨更有说服力。

在论文写作过程中, 我还得到了许多专家和同行的帮助。他们对我的研究提出了许多宝贵的意见和建议, 使我受益匪浅。

最后, 我要感谢我的家人和朋友。他们在我论文写作过程中给予我无尽的关爱和支持, 使我能够在良好的心态下完成这篇论文。特别是我的父母, 他们一直是我最坚实的后盾, 无条件的支持我的想法和研究。

在此, 我由衷感谢所有关心和帮助过我的人们!

基金项目

国家自然科学基金项目(62262065)、自治区重点研发任务专项项目。

参考文献

- [1] 刘威. AES 算法在通信信息无损加密传输中的应用[J]. 信息与电脑:理论版, 2022, 34(17): 80-82.
- [2] 陆成刚, 王庆月. 一次一密理论的再认识[J]. 高校应用数学学报 A 辑, 2022, 37(4): 426-430.
- [3] 刘晓陆. 一种改进的 AES 算法及其性能分析[J]. 长江信息通信, 2021, 34(11): 27-29.
- [4] Matsui, M. (1994) Linear Cryptanalysis Method for DES Cipher. In: Hellese, T., Ed., *EUROCRYPT 1993: Advances in Cryptology—EUROCRYPT 93*, Springer, Berlin, 386-397. https://doi.org/10.1007/3-540-48285-7_33
- [5] Biham, E. and Shamir, A. (1991) Differential Cryptanalysis of DES-Like Cryptosystems. *Journal of Cryptology*, **4**, 3-72. <https://doi.org/10.1007/BF00630563>
- [6] 胡建, 曹喜望. 几类低差分一致性映射与完全非线性函数[J]. 数学进展, 2020, 49(6): 756-760.
- [7] 黄伟. DES 加密算法的改进方案[J]. 信息安全与通信保密, 2022(7): 100-105.
- [8] 何诗洋, 李晖, 李凤华. SM4 算法的 FPGA 优化实现方法[J]. 西安电子科技大学学报, 2021, 48(3): 155-162.
- [9] 单红. 一组完整性校验算法及其效率分析[J]. 安徽大学学报(自然科学版), 2007, 31(5): 28-31.
- [10] Denning, D.E. and Denning, P.J. (1997) Internet Besieged: Countering Cyberspace Scofflaws. *Computer Law & Security Review*, **14**, 406.
- [11] 王云. 面向航天云平台的任务与容器调度研究[D]: [硕士学位论文]. 南京: 南京邮电大学, 2021.
- [12] 张玉安, 漆骏锋, 王野, 等. 分组密码的隐秘密文分组链接模式[J]. 信息安全与通信保密, 2022(11): 92-99.
- [13] 梁丽芳, 杜小妮, 李锴彬, 等. 基于 Feistel 结构的分组密码算法 Eslice [J]. 山东大学学报(理学版), 2023, 58(3): 85-92.
- [14] 张友明. 高级加密标准的差分分析和积分分析的研究[D]: [硕士学位论文]. 武汉: 华中科技大学, 2004.
- [15] 张凡, 丁海洋, 秦定武, 等. 基于分组密码的图像加密域信息隐藏[J]. 北京印刷学院学报, 2023, 31(3): 1-7.

-
- [16] 陈汗青, 李菲菲, 陈虬. 基于三维卷积和哈希方法的视频检索算法[J]. 电子科技, 2022, 35(4): 35-39, 66.
- [17] 陶红, 徐耀坤, 侯臣平. 问题驱动的协方差与相关系数的概念构建[J]. 教育教学论坛, 2022(36): 52-55.
- [18] 周亮. 基于有限域的混沌图像加密算法研究[D]: [硕士学位论文]. 南昌: 南昌大学, 2022.
- [19] 邹龙, 李晨璞, 刘凯, 等. 度联合信息熵的网络重要节点识别[J]. 福建电脑, 2023, 39(5): 30-34.
- [20] 段雪峰, 王瑞. 基于中国剩余定理和 Logistic 映射的彩色图像加密算法[J]. 桂林电子科技大学学报, 2020, 40(4): 328-332.